



## بررسی کارایی فرآیند اکسیداسیون کاتالیتیکی پرتوهای پرانرژی الکترونی توأم با پرسولفات پتاسیم در حذف اسید هیومیک از محلولهای آبی

نویسنده‌گان: محمد تقی قانعیان<sup>۱</sup>، محمدحسن احرامپوش<sup>۲</sup>، حبوبه دهواری<sup>۳</sup>، منیره خیرخواه<sup>۴</sup>، فاطمه انوری<sup>۵</sup>، محسن عسکری شاهی<sup>۶</sup>، بهزاد جمشیدی<sup>۷</sup>

۱. دانشیار گروه مهندسی بهداشت محیط، دانشگاه علوم پزشکی و خدمات بهداشتی درمانی شهید صدوقی یزد
۲. استاد گروه مهندسی بهداشت محیط، دانشگاه علوم پزشکی و خدمات بهداشتی درمانی شهید صدوقی یزد
۳. نویسنده مسئول: دانشجوی کارشناسی ارشد مهندسی بهداشت محیط، دانشگاه علوم پزشکی و خدمات بهداشتی درمانی شهید صدوقی یزد  
Email: mahboobehdehvari@yahoo.com      تلفن تماس: ۰۹۳۸۱۱۴۹۶۵۱
۴. کارشناس ارشد شیمی، پژوهشگاه علوم و فنون هسته ای، پژوهشکده کاربرد پرتوها، سازمان انرژی اتمی، یزد
۵. استادیار گروه آمار حیاتی، دانشگاه علوم پزشکی و خدمات بهداشتی درمانی شهید صدوقی یزد
۶. کارشناس ارشد مهندسی بهداشت محیط، دانشگاه علوم پزشکی و خدمات بهداشتی درمانی شهید صدوقی یزد

### چکیده

**مقدمه:** مهمترین اثر مواد آلی طبیعی موجود در آب، واکنش با گندزدaha و ایجاد محصولات جانبی گندزدایی بوده که اکثراً سرطان‌زا هستند. فرآیندهای اکسیداسیون پیشرفتنه (AOPs) روش‌های متداولی برای حذف مواد آلی از محلول‌های آبی می‌باشند. کاربرد تابش پرتوهای پرانرژی الکترونی یکی از اثواب روش‌های اکسیداسیون پیشرفته است. لذا در این مطالعه، کارایی فرآیند اکسیداسیون کاتالیتیکی تابش پرتوهای پرانرژی الکترونی توأم با پرسولفات پتاسیم در حذف اسید هیومیک از محلولهای آبی مورد بررسی قرار گرفته است.

**روش بررسی:** این تحقیق یک مطالعه تجربی است که در مقیاس آزمایشگاهی انجام شده است. در این تحقیق، اثر pH (۴–۱۰)، غلظت اولیه پرسولفات پتاسیم (۰/۱–۰/۵ mmol/100cc)، دوز‌های جذبی متفاوت پرتوهای پرانرژی الکترونی (۱۵ kGy) و غلظت اولیه اسید هیومیک (۰/۱–۰/۵ mg/l) مورد بررسی قرار گرفت. پرتوهای الکترونی با استفاده از شتاب دهنده الکترون مدل TT200 انجام گرفت و غلظت باقیمانده اسید هیومیک در نمونه‌ها توسط اسپکتروفوتومتر در طول موج ۲۵۴ نانومتر تعیین گردید.

**یافته‌ها:** براساس نتایج، تغییر pH دارای تأثیر جزئی بر روی کارایی حذف اسید هیومیک است. بطور میانگین با افزایش pH از ۴ به ۱۰، راندمان حذف اسید هیومیک از ۵۹/۷۲ به ۳۶/۷۳٪ رسیده بود. نتایج نشان داد که با افزایش دوز جذبی از ۱ به ۱۵ کیلوگرمی، کارایی حذف اسید هیومیک افزایش می‌یابد. بر اساس نتایج با افزایش غلظت پرسولفات، راندمان حذف اسید هیومیک افزایش یافته است بطوری که برای دوز جذبی ۳ کیلوگرمی با افزایش غلظت پرسولفات پتاسیم از ۰/۱ mmol/100cc به ۰/۱ mmol/100cc افزایش می‌یابد. راندمان حذف از ۶۹/۴۳ به ۸۲/۸۳ افزایش یافته بود. آزمایشات سیستیک نشان داد که تجزیه اسید هیومیک با استفاده از تابش پرتوهای پرانرژی الکترونی از سیستیک درجه دوم پیروی می‌کند.

**نتیجه گیری:** داده‌های حاصل از این تحقیق نشان داد که محلول آبی حاوی اسید هیومیک بطور مؤثری توسط پرتوهای پرانرژی الکترونی تجزیه می‌شود. افزودن پتاسیم پرسولفات قادر به بهبود قابل توجه ای در کارایی فرآیند حذف هیومیک اسید در حضور پرتوهای پرانرژی الکترونی می‌باشد.

**واژه‌های کلیدی:** تصفیه آب، اسید هیومیک، فرآیندهای اکسیداسیون پیشرفت، پرتوهای پرانرژی الکترونی، پرسولفات پتاسیم

این مقاله حاصل از پایان نامه کارشناسی ارشد دانشگاه علوم پزشکی و خدمات بهداشتی درمانی شهید صدوقی یزد می‌باشد.

## طلوع بهداشت

دو ماهنامه علمی پژوهشی  
دانشکده بهداشت یزد  
سال چهاردهم  
شماره: اول  
فروردین واردیهشت  
۱۳۹۴

شماره مسلسل: ۴۹

تاریخ وصول: ۱۳۹۱/۱۱/۲۹  
تاریخ پذیرش: ۱۳۹۲/۴/۲۳



اکسیداسیون پیشرفت، فرآیندهای غشایی، اکسیداسیون فتوکاتالیستی، ازن زنی و جذب مورد استفاده قرار گرفته است (۱۰، ۱۴). در تصفیه خانه های آب، مواد هیومیکی بین ۵۰-۲۰٪ (۱) با فرآیندهای متداول تصفیه آب آشامیدنی، حذف می شوند (۱). از میان روش های حذف اسید هیومیک، فرآیندهای اکسیداسیون از میان روشهای پیشرفت برای اکسیداسیون NOM به محصولات نهایی بی ضرر نظیر آب و دی اکسید کربن، مورد تأیید قرار گرفته است (۱۴). فرآیندهای اکسیداسیون پیشرفت، شامل تولید و استفاده از رادیکال های هیدروکسیل (OH)، به عنوان اکسیدانت بسیار قوی است (۱۵، ۱۳). رایج ترین فرآیندهای اکسیداسیون پیشرفت شامل تکنولوژی های UV/H<sub>2</sub>O<sub>2</sub>/O<sub>3</sub>, H<sub>2</sub>O<sub>2</sub>/Fe<sub>2</sub><sup>+</sup>, O<sub>3</sub>, TiO<sub>2</sub>/UV، امواج ماوراء صوت و تابش الکترونهای پرانرژی است (۱۷، ۱۶). از میان فرآیندهای اکسیداسیون پیشرفت، کاربرد تابش پرتوهای پرانرژی الکترونی برای تصفیه آب و فاضلاب به ویژه در حضور اکسیدانت ها یا کاتالیست ها در طی سال های گذشته توسعه یافته است (۱۸، ۲). این فرآیند در حذف آلاینده های آلی غیر قابل تجزیه بیولوژیکی کاربرد دارد (۲۰، ۱۹). تجزیه آلاینده های آلی، تحت تأثیر گونه های فعال OH<sup>-</sup>, O<sub>2</sub><sup>-</sup>, e<sub>aq</sub><sup>-</sup> و H<sup>+</sup> تولید شده در فاز آبی اتفاق می افتد (۲۱، ۲۲، ۱۶). برای بهبود کارایی حذف آلاینده، افزودن کاتالیست ها یا اکسیدانت های واکنش پذیر قبل از تصفیه با پرتوهای پرانرژی الکترونی پیشنهاد شده است (۱۶). ویژگیهای همچون قابلیت حل بالا در آب، هزینه نسبتاً پایین و محصولات نهایی بدست آمده از اکسیداسیون پرسولفات، باعث

#### مقدمه

مواد آلی طبیعی (NOM: Natural Organic Matters) نه تنها باعث تأثیر بر روی بو، رنگ و مزه آب شده (۲، ۱)، بلکه باعث مشکلات وسیعی نظیر افزایش نیاز به عوامل گندزدا، خوردگی و رشد باکتریایی در سیستم های توزیع و در فرآیندهای تصفیه آب آشامیدنی می شوند (۳، ۲). مواد هیومیکی از محصولات پیچیده فرآیندهای شیمیایی و میکروبی تخریب و سنتز ثانویه مواد گیاهی و حیوانی در خاک و آب هستند (۵، ۴). مواد هیومیکی نقش اصلی را در انتقال فلزات سنگین داشته و قابلیت حل آنها را افزایش می دهد (۶). آنها در واکنش با گندزداها بالاخص کلر باعث ایجاد محصولات جانبی گندزدایی (DBPs: Disinfection by-product) شده که جهش زا و سرطانزا هستند (۷). مواد هیومیکی بر اساس قابلیت انحلال در محلول های آبی به سه گروه عمده اسید هیومیک (HA)، اسید فولویک (FA) و هیومین تقسیم می شوند (۱۰، ۹، ۲). اسید هیومیک از مهمترین ترکیبات مواد هیومیکی است که از تجزیه باقیمانده های گیاهی و حیوانی تولید می شود و ۶۰ تا ۹۰ درصد ترکیبات آلی طبیعی را تشکیل می دهد (۱۱). اسیدهای هیومیک، پلی الکترولیت های با وزن مولکولی بالا (۲۰۰۰۰ g/mol) هستند و در شرایط طبیعی به صورت ماکرومولکول هایی با بار منفی بوده که این بار ناشی از حضور گروه های عاملی شامل کربوکسیل و فنیلیک است (۱۲). HA در سیستم آب طبیعی در غلظت های متفاوتی در رنج ۰-۲ mg/l وجود دارد (۱۳). برای حذف اسید هیومیک از آب روش هایی مانند انعقاد پیشرفت،



کامل اسید هیومیک از روش اولتراسونیک (مدل Elema، آلمان) استفاده گردید<sup>(۶، ۲۳)</sup>. پرتودهی نمونه ها بوسیلهٔ الکترون های ۱۰ MeV ناشی از شتاب دهنده الکترون Rhodotron TT200 ساخت شرکت IBA بلژیک صورت گرفت. نمونه های تهیه شده به ظرفی از جنس پلی استایرن منتقل شده و در معرض تابش پرتوهای پرانرژی الکترونی قرار گرفتند.

حجم نمونه مورد استفاده ۵۰ cc بود. در این مطالعه اثر پارامترهای مختلفی از قبیل pH (۱۰، ۸، ۷، ۶، ۴)، غلظت های متفاوتی از پرسولفات پتاسیم (mmol/100cc، ۰/۱، ۰/۲۵، ۰/۵) و دوزهای جذبی متفاوت (kGy، ۱۵، ۹، ۶، ۳، ۱) بررسی شده است.

در این تحقیق، مقادیر دوز جذبی و غلظت پرسولفات بر اساس مطالعات مشابه و نتایج پیش آزمون های انجام شده قبل از شروع تحقیق اصلی، انتخاب گردیده است. جهت تنظیم pH از محلول های اسید فسفریک و هیدروکسید سدیم استفاده گردید. سنجش غلظت اسید هیومیک باقیمانده در نمونه ها توسط اسپکتروفوتومتر UV-Visible مدل (optima, SP3000-plus) در طول موج ۲۵۴ نانومتر انجام شد<sup>(۸، ۱۴)</sup>. جهت محاسبه میزان راندمان حذف از فرمول زیر استفاده گردید<sup>(۲۴)</sup>:

$$(1) \quad \%R = \frac{C_0 - C}{C_0} \times 100$$

R : راندمان حذف (درصد)

C<sub>0</sub>: غلظت اسید هیومیک قبل از تابش

C: غلظت اسید هیومیک باقیمانده بعد از تابش

شده تا از این ماده به عنوان کاتالیست جهت افزایش کارایی فرایندهای اکسیداسیون پیشرفته در حذف ترکیبات آلی استفاده گردد. نمک های پرسولفات در آب به آئیون پرسولفات (S<sub>2</sub>O<sub>8</sub><sup>2-</sup>) تجزیه می شود، که پتانسیل اکسیداسیون قوی (E° = ۲/۰۱ V) دارد. در فرآیند تابش پرتوهای پرانرژی الکترونی، یون های پرسولفات در حضور تابش الکترون های پرانرژی می توانند حذف آلینده های موجود در محلول های آبی را در نتیجه تولید رادیکال های آزاد SO<sub>4</sub><sup>-</sup> بهبود بخشد. رادیکال های سولفات همانند رادیکال های هیدروکسیل، اکسیدانت های قوی هستند و آلینده های آلی را از طریق مکانیسم های تجزیه هیدروژن، افزودن و جایگزینی واکنش ها با ترکیبات آروماتیک و قلیایی و انتقال الکترون از گروه های کربوکسیلات اکسید نمایند<sup>(۳)</sup>. با توجه به اینکه مطالعات بسیار محدودی در زمینه تابش پرتوهای پرانرژی الکترونی در حذف آلینده های آب انجام شده است، این مطالعه با هدف بررسی کارایی فرآیند اکسیداسیون کاتالیتیکی تابش پرتوهای پرانرژی الکترونی توأم با پرسولفات پتاسیم در حذف اسید هیومیک از محلولهای آبی انجام گردیده است.

### روش بررسی

این تحقیق یک مطالعه تجربی است که در مقیاس آزمایشگاهی انجام شده است. اسید هیومیک مورد استفاده در این مطالعه محصول شرکت آلدريچ و سایر مواد مصرفی، محصول شرکت مرک بوده است. محلول اسید هیومیک (۲۵ میلی گرم در لیتر) از طریق انحلال پودر اسید هیومیک در آب مقطر تحت شرایط قلیایی (سود ۰/۱ نرمال) تهیه گردید<sup>(۱۴)</sup>. به منظور حل شدن

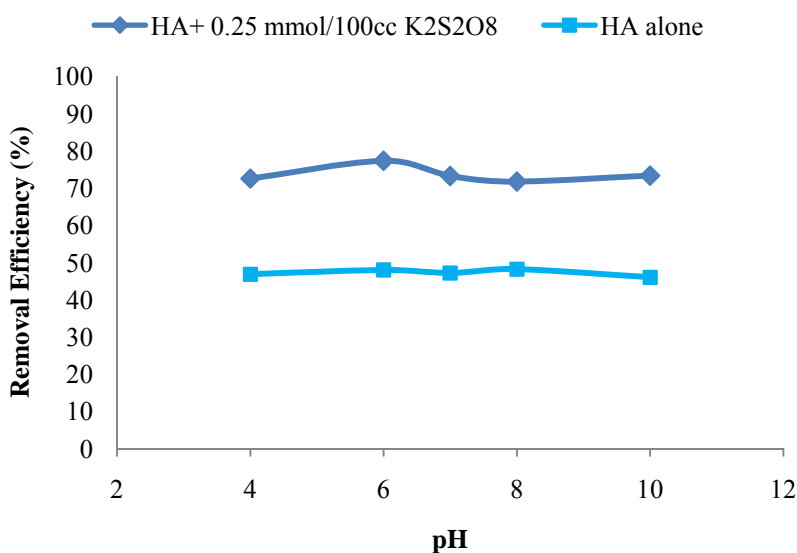


مجزا و توأم با پرسولفات بوده است. بر این اساس، بالاترین کارایی حذف در  $pH=6$  مشاهده شده است. بطوريکه کارایی حذف در حضور پرسولفات پتاسيم با افزایش  $pH$  از ۴ به ۶، از ۷۲/۵۹٪ به ۷۷/۳۵٪ رسیده و در  $pH$  بالاتر از ۶، راندمان کاهش یافته است. بطوريکه در  $pH=10$  راندمان حذف در حضور پرتوهای پرانرژی الکترونی بصورت مجزا و توأم با پرسولفات به ترتیب برابر با ۴۶/۰۵٪ و ۷۳/۳۶٪ بوده است. بررسی داده های حاصل از این مرحله نشان دهنده تغییرات جزئی در کارایی حذف در  $pH$  های متفاوت است. به علاوه میزان  $pH$  آب در منابع سطحی و زیرزمینی در اکثر موارد در محدوده ۷/۵ تا ۸ می باشد. لذا میزان  $pH=8$  به عنوان مینا در ادامه مطالعه در نظر گرفته شد.

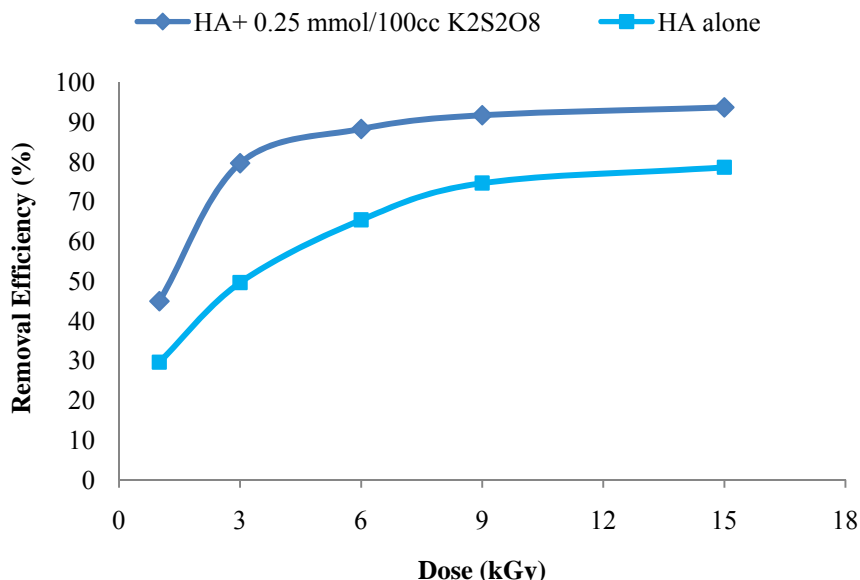
در این مطالعه، نمونه های انتخاب شده جهت آنالیز اسید هیومیک و بررسی تأثیر سایر فاکتورهای مورد نظر با سه بار تکرار آزمون شده و نتایج بر اساس میانگین داده ها ارائه شده است. برای رسم نمودارهای مربوطه از برنامه Excel و جهت مقایسه میانگین ها از آزمون ANOVA و جهت تأثیر متغیرهای مستقل روی کارایی فرایند از رگرسیون خطی استفاده گردید.

#### یافته ها

نتایج بررسی اثر  $pH$  بر روی کارایی حذف اسید هیومیک توسط فرآیند اکسیداسیون کاتالیتیکی پرتوهای پرانرژی الکترونی توأم با پرسولفات پتاسيم در شکل ۱ ارائه شده است. بر اساس نتایج، تغییر  $pH$  دارای تأثیر جزئی بر کارایی حذف اسید هیومیک در حضور پرتوهای پرانرژی الکترونی بصورت



شکل ۱: اثر  $pH$  در حذف اسید هیومیک ( غلظت اولیه اسید هیومیک: ۰/۲۵ mmol/100cc، ۲۵ mg/l، غلظت اولیه پرسولفات پتاسيم: ۰/۰۳ kGy، دوز جذبی اشعه:



شکل ۲: اثر دوز جذبی در راندمان حذف اسید هیومیک (غلظت اولیه اسید هیومیک: ۱/۲۵ mg/l، غلظت اولیه پرسولفات پتاسیم: ۰/۲۵ mmol/100cc و pH: ۸)

پرسولفات پتاسیم، کارایی حذف اسید هیومیک، افزایش یافته،  
بطوریکه راندمان حذف برای غلظت های mmol/100cc  
۰/۱، ۰/۲۵ و ۰/۵ به ترتیب برابر با ۴۳/۶۹٪، ۷۹/۶۴٪ و ۸۲/۸۳٪ بوده است.

نتایج حاصل از بررسی اثر غلظت اولیه اسید هیومیک بر کارایی پرتوهای پرانرژی الکترونی بصورت مجزا و توأم با پرسولفات پتاسیم در حذف اسید هیومیک در جدول ۱ ارائه شده است. این مرحله بیانگر افزایش کارایی فرآیند تابش پرتوهای پرانرژی الکترونی بصورت مجزا و توأم با پرسولفات پتاسیم در مقایسه با کاربرد پرتوهای پرانرژی الکترونی بصورت مجزا است. مطابق با نتایج بدست آمده با افزایش غلظت اولیه اسید هیومیک از ۱۰ به ۵۰ میلی گرم در لیتر در کاربرد این پرتوها بصورت مجزا، راندمان حذف از ۴۸/۳۵٪ به ۶۲/۳۵٪ کاهش یافته است در حالی که این اعداد در حضور پرسولفات پتاسیم راندمان به ترتیب برابر

نتایج بدست آمده از اثر دوز جذبی پرتوهای پرانرژی الکترونی (۱، ۳، ۶، ۹، ۱۵ کیلوگری) بر راندمان حذف اسید هیومیک در شکل ۲ ارائه شده است. بر اساس نتایج بدست آمده با افزایش دوز جذبی، راندمان حذف اسید هیومیک افزایش یافته است.

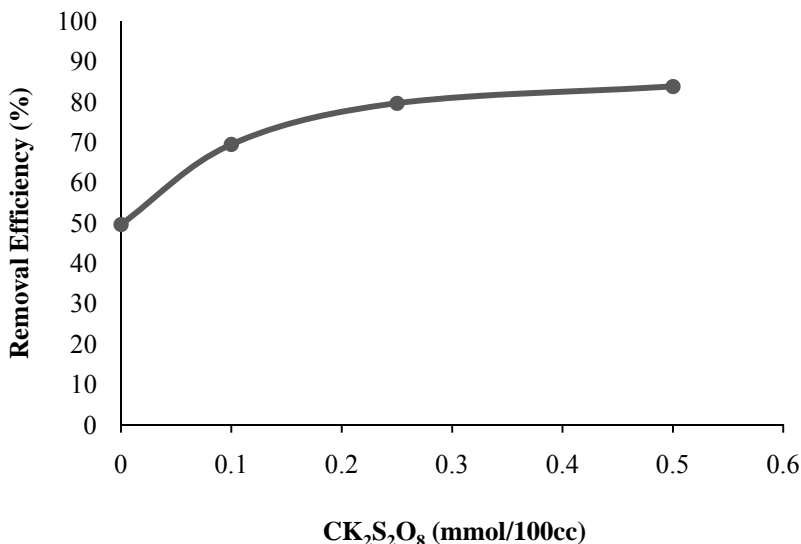
بطوریکه با افزایش دوز اشعه از ۱ به ۱۵ کیلوگری، راندمان حذف در حضور پرتوهای پرانرژی الکترونی بصورت مجزا از ۵۸/۲۹٪ به ۶۱/۷۸٪ و در حضور پرتوهای پرانرژی الکترونی توأم با پرسولفات پتاسیم از ۹۳/۶۸٪ به ۹۳/۴۴٪ افزایش یافته است.

اثر غلظت پرسولفات پتاسیم بر حذف اسید هیومیک در حضور پرتوهای پرانرژی الکترونی توأم با غلظت های متفاوت پرسولفات پتاسیم (۰/۱، ۰/۲۵ و ۰/۵ mmol/100cc) در دوز جذبی ۳ کیلوگری مورد بررسی قرار گرفت که نتایج آن در شکل ۳ ارائه شده است. مطابق با نتایج، با افزایش غلظت



فرآیند پرتوهای پرانرژی الکترونی توأم با پرسولفات پتابسیم به ترتیب  $1/416 \text{ mg/l}$  و  $3/8 \text{ mg/l}$  و برای غلظت اولیه اسید هیومیک  $50 \text{ میلی گرم در لیتر}$ ,  $32/26 \text{ mg/l}$  و  $16/075 \text{ mg/l}$  بوده است.

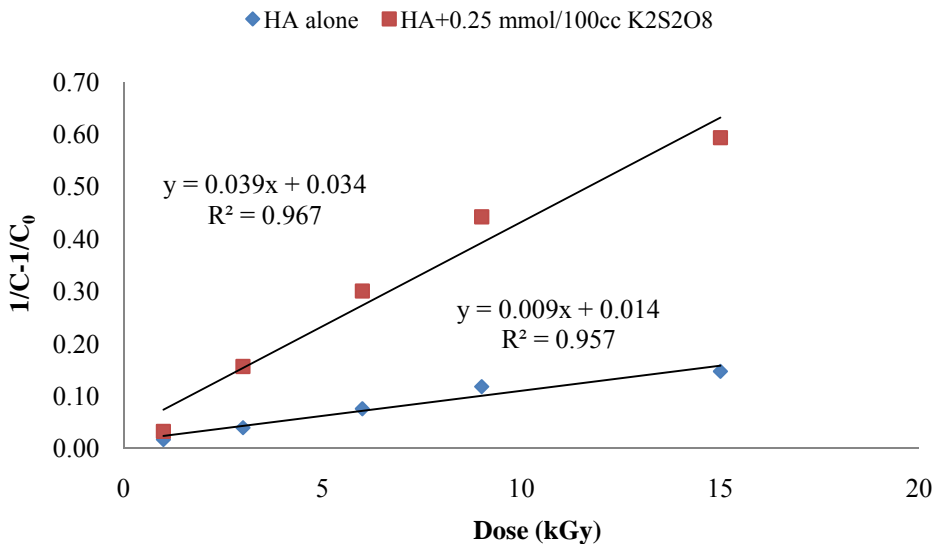
با  $85/84\%$  و  $67/85\%$  بوده است. بر اساس نتایج این تحقیق، غلظت باقیمانده اسید هیومیک در بهترین شرایط (حداکثر راندمان حذف) برای غلظت اولیه  $10 \text{ میلی گرم در لیتر}$  اسید هیومیک طی فرآیند پرتوهای پرانرژی الکترونی بصورت مجزا و



شکل ۳: اثر غلظت پرسولفات پتابسیم در راندمان حذف اسید هیومیک (غلظت اولیه اسید هیومیک:  $1/25 \text{ mg/l}$ , دوز جذبی:  $3 \text{ kGy}$  و  $\text{pH} 8$ )

جدول ۱: اثر غلظت اولیه اسید هیومیک در راندمان حذف اسید هیومیک در حضور پرتوهای پرانرژی الکترونی بصورت مجزا و توأم با پرسولفات پتابسیم (غلظت اولیه پرسولفات پتابسیم:  $1/25 \text{ mmol/100cc}$ , دوز جذبی:  $3 \text{ kGy}$  و  $\text{pH} 8$ )

غلظت اولیه اسید هیومیک ( $\text{mg/l}$ )	فرآیند تابش پرتوهای پرانرژی	فرآیند تابش پرتوهای پرانرژی	راندمان (%)
۱۰	۶۲	۸۵/۸۴	۸۵/۸۴
۲۵	۴۹/۶۱	۷۹/۶۴	۷۹/۶۴
۵۰	۳۵/۴۸	۶۷/۸۵	۶۷/۸۵



شکل ۴: سینتیک درجه دوم حذف اسید هیومیک توسط تابش پرتوهای پرانرژی الکترونی بصورت مجزا و توأم با پرسولفات پتاسیم  
(غلظت اولیه اسید هیومیک: ۲۵ mg/l، غلظت اولیه پرسولفات پتاسیم: ۰/۲۵ mmol/100cc و pH: ۸)

بصورت مجزا و توأم با پرسولفات پتاسیم به ترتیب برابر با  $100\text{ kGy}^{-1}$  و  $0/039\text{ kGy}^{-1}$  بوده است.

### بحث و نتیجه گیری

نتایج بدست آمده حاکی از تأثیر جزئی pH در حذف اسید هیومیک طی فرآیند تابش پرتوهای پرانرژی الکترونی بصورت مجزا و توأم با پرسولفات پتاسیم است. مقایسه مقادیر میانگین راندمان حذف در pHهای مختلف با استفاده از آزمون ANOVA بیانگر عدم اختلاف آماری بین مقادیر راندمان در pHهای مختلف بوده است ( $P > 0.05$ ). با توجه به عدم وجود اختلاف معنادار آماری بین مقادیر راندمان در pHهای مختلف نظر به اینکه بطور معمول pH آبهای سطحی در محدوده ۷/۵-۸ می باشد، لذا pH محلول برای بررسی سایر فاکتورهای مورد مطالعه در ادامه تحقیق ۸ در نظر گرفته شد. کریکوئیت و

به منظور بررسی سینتیک حذف اسید هیومیک در حضور پرتوهای پرانرژی الکترونی بصورت مجزا و توأم با پرسولفات پتاسیم، نمودارهای مرتبط با سینتیک شبه درجه اول (تغییرات  $\frac{C}{C_0}$  در مقابل دوز جذبی) و سینتیک درجه دوم (تغییرات  $\ln \frac{C}{C_0}$  در مقابل دوز جذبی) ترسیم گردید (۲۶، ۲۵). مقایسه خط برآش و ضریب همبستگی  $R^2$  خطوط نشان داد که داده های حاصل از واکنش ها از سینتیک درجه دوم تعیت می نماید که نمودار تغییرات آن در شکل ۴ ارائه شده است. با توجه به شکل ۴، میزان ضریب همبستگی  $R^2$  مربوط به سینتیک درجه دوم داده های واکنش پرتوهای پرانرژی الکترونی در حضور پرسولفات پتاسیم برابر با ۰/۹۶۷ و در غیاب پرسولفات پتاسیم برابر با ۰/۹۵۷ بوده و مقدار ثابت سرعت واکنش (k) برای فرآیند تابش پرتوهای پرانرژی الکترونی



دوز جذبی پرتو از ۱ به ۲۵ کیلوگری، راندمان حذف افزایش

می یابد(۲۶). تینگ و همکاران (۲۰۰۸) و پائول و همکاران

(۲۰۱۱) نیز طی مطالعات خود بر روی رنگردازی توسط

تکنولوژی پرتوهای پرانرژی الکترونی به همین نتیجه دست یافتهند(۲۷، ۲۸).

داده های حاصل از بررسی اثر غلظت های متفاوت پرسولفات

پتاسیم بر راندمان حذف اسید هیومیک در مطالعه حاضر نشان-

دهنده افزایش کارایی حذف اسید هیومیک با افزایش غلظت

پرسولفات پتاسیم است. بطور کلی عوامل احیاء کننده تولید شده

در اثر تابش پرتوهای پرانرژی الکترونی به آب نظری الکترون

های حل شده ( $e_{aq}$ ) با پرسولفات واکنش داده و منجر به تشکیل

گونه های رادیکال فعال مخصوصاً رادیکال سولفات (۴<sup>-</sup> $\text{SO}_4$ )

می شود. حضور یون های  $\text{S}_2\text{O}_8^{2-}$  در محلول های آبی تحت

تابش این پرتوها علاوه بر تولید رادیکال های سولفات باعث

تولید رادیکال های آزاد هیدروکسیل با پتانسیل اکسیداسیون بالا

می گردد(۱۶، ۳). بنابراین، غلظت های بالاتر پرسولفات منجر

به تشکیل رادیکال های هیدروکسیل و سولفات بیشتری شده و

این امر افزایش راندمان تجزیه اسید هیومیک را در بردارد(۲۴).

چنین نتایجی توسط بوکاری و همکاران (۲۰۱۱) طی فرآیند

تابش پرتوهای پرانرژی الکترونی در حذف فل از محلول های

آبی مشاهده شده است(۱۶). نتایج مطالعه سلیمانی و همکاران

(۲۰۱۱) در رابطه با حذف رنگ DR16 طی فرآیند

$\text{UV/K}_2\text{S}_2\text{O}_8$  نیز نشان داد که با افزایش غلظت پرسولفات،

راندمان حذف رنگ افزایش می یابد(۲۴).

همکاران (۲۰۱۲)، تابش پرتوهای پرانرژی الکترونی را در تجزیه

محلول های اسید سیتریک حاوی پرسولفات سدیم مورد بررسی

قرار دادند.

نتایج مطالعه آنها نشان داد که با افزایش  $\text{pH}$  از ۱۱، میزان

تجزیه اسید سیتریک کاهش می یابد. در واقع رادیکال سولفات

تشکیل شده از پرسولفات می تواند با کربن غیر آلی واکنش

داده و منجر به تجزیه پایین تر اسید سیتریک در  $\text{pH}$  خشی در

مقایسه با  $\text{pH}$  اسیدی گردد.

به علاوه با افزایش  $\text{pH}$  از ۱۰، بازده تشکیل رادیکال های

فعال طی فرآیند رادیولیز آب به  $\text{pH}$  بستگی نداشته و در  $\text{pH}$

بالاتر از ۱۰، تشکیل رادیکال های آزاد هیدروکسیل نسبتاً کمتر

است (۲۵). در مطالعه حاضر نیز راندمان حذف اسید هیومیک

در  $\text{pH} = 6$  به میزان جزئی از راندمان حذف در سایر مقادیر  $\text{pH}$

بیشتر بوده است. با این حال اختلاف معنادار آماری بین این

داده ها مشاهده نشده است.

نتایج مطالعه حاضر نشان داد که راندمان حذف اسید هیومیک

با افزایش دوز جذبی، افزایش می یابد. مقایسه راندمان حذف

اسیدهیومیک در مقادیر دوز جذبی ۱ تا ۱۵ کیلوگری نشان داده

است که با افزایش دوز جذبی از ۱ تا ۶ کیلوگری، راندمان

حذف به شدت افزایش یافته و افزایش راندمان طی افزایش دوز

جدبی از ۶ تا ۱۵ کیلوگری دارای روند افزایشی ملایم تری بوده

است. کوئن و همکاران (۲۰۱۲) در مطالعه ای حذف و تجزیه

آیوپروماید در حضور تابش پرتوهای پرانرژی الکترونی را

بررسی نمودند. بر اساس نتایج مطالعه این محققین، با افزایش



الکترون های موجود در محلول بر روی پرسولفات، رادیکال سولفات تشکیل می شود. رادیکال سولفات یک اکسیدانت قوی بوده و واکنش پذیری بالایی در ارتباط با ترکیبات آلی دارد. این رادیکال ها دارای پتانسیل اکسیداسیون و احیاء بالای ( $V_{E=2/43}$ ) بوده و در مقایسه با رادیکال های آزاد هیدروکسیل ( $E=2/80\text{ V}$ ) دارای پتانسیل اکسیداسیون کمتری هستند(۱۹). مطالعه انجام شده توسط نتا و همکاران (۱۹۷۷) نشان داد که  $\text{SO}_4^{2-}$  به عنوان اکسیدانتی مؤثرتر از  $\text{OH}^-$  با بعضی از ترکیبات آلی واکنش می دهد که ناشی از اثر اکسیداسیون انتخابی بیشتر رادیکال سولفات در مقایسه با رادیکال هیدروکسیل است(۳۱). کریکوئیت و همکاران (۲۰۱۲)، بوکاری و همکاران (۲۰۱۱) و روشنی و همکاران(۲۰۱۱) کارایی فرآیند پرتوهای پرانرژی الکترونی توأم با پرسولفات بر روی تجزیه اسید سیتریک، فل و بنزوتریازول و اسیدهیومیک را مورد بررسی قرار دادند. نتایج مطالعات آنها حاکی از افزایش سرعت تجزیه آلاینده ها در حضور پرسولفات بوده است (۳، ۱۶، ۲۵).

بررسی روند حذف آلاینده ها توسط تابش پرتوهای پرانرژی الکترونی مبین این است که در اغلب موارد، حذف آلاینده ها از سیتیک درجه اول تبعیت می کند. مطالعه کریکوئیت و همکاران (۲۰۱۲) نیز نشان داد که حذف اسید سیتریک و اسید استیک در حضور پرسولفات توسط تابش پرتوهای پرانرژی الکترونی از سیتیک درجه اول پیروی می کند(۳۲، ۲۵). علیرغم دستاوردهای بعضی از محققین، داده های بدست آمده از مطالعه

مطابق با نتایج حاصل از تحقیق حاضر، با افزایش غلظت اسید هیومیک در حضور پرتوهای پرانرژی الکترونی بصورت مجرزا و توأم با پرسولفات پتانسیم، راندمان حذف اسید هیومیک کاهش می یابد. در واقع با افزایش غلظت اولیه اسید هیومیک در محلول، ترکیب مجدد گونه های اکسیدکننده فعال کاهش می یابد. داده های بدست آمده از مطالعه کریکوئیت و همکاران (۲۰۱۲) در مورد حذف اسید سیتریک در حضور پرسولفات توسط تابش پرتوهای پرانرژی الکترونی نشان دهنده کارایی بالاتر تجزیه اسید سیتریک در غلظت های پایین تر این ماده در حضور و غیاب پرسولفات بود(۲۵).

بر اساس نتایج، فرآیند پرتوهای پرانرژی الکترونی توأم با پرسولفات پتانسیم (راندمان ۸۵٪ در غلظت ۱۰ میلی گرم در لیتر اسید هیومیک) در مقایسه با فرآیند پرتوهای پرانرژی الکترونی بصورت مجرزا (راندمان ۶۲٪ در غلظت ۱۰ میلی گرم در لیتر اسید هیومیک) کارایی بالاتری داشته است. تجزیه آلاینده های آلی تحت تأثیر گونه های فعال ( $\text{H}^+$ ,  $\text{OH}^-$ ,  $\text{e}_{aq}^-$ ) قرار می گیرد. بنابراین افزودن یک عامل کاتالیست در حضور پرتوهای پرانرژی الکترونی جهت بهبود کارایی حذف آلاینده ها پیشنهاد شده است(۱۶). در طی سال های گذشته، مطالعاتی در زمینه بررسی تأثیر اکسیدانت هایی همچون ازن، پراکسید هیدروژن و پرسولفات در حذف آلاینده های آلی انجام شده است(۳۰، ۲۹، ۳، ۲۵، ۲۶). در مطالعه حاضر نیز اثر افزایش پرسولفات پتانسیم جهت حذف اسید هیومیک در فرآیند پرتوهای پرانرژی الکترونی مورد بررسی قرار گرفت. در نتیجه تأثیر مستقیم



اسیدها تبدیل شود. یکی از روش‌های کارآمد در حذف اسید هیومیک از محلول‌های آبی، فرآیندهای اکسیداسیون پیشرفته نظیر پرتودهی با پرتوهای پرانرژی الکترونی توأم با پرسولفات پتانسیم است. بر اساس نتایج مطالعه حاضر، افزودن پرسولفات قادر به بهبود قابل توجه‌ای در کارایی فرآیند حذف اسید هیومیک در حضور پرتوهای پرانرژی الکترونی بوده و نتایج آن می‌تواند در اختیار شرکت آب و فاضلاب و آب منطقه‌ای استان قرار گیرد.

### تشکر و قدرانی

این مقاله حاصل از پایان نامه دانشجوی کارشناسی ارشد مهندسی بهداشت محیط می‌باشد و با حمایت مالی دانشگاه علوم پزشکی و خدمات بهداشتی درمانی شهید صدوقی یزد انجام شده است.

حاضر حاکی از تطابق بیشتر تعزیه اسید هیومیک با سیستیک درجه دوم بوده است. نتایج کوئن و همکاران (۲۰۱۲) نیز طی مطالعه بررسی حذف و تعزیه آبپرورمايد (IPM) توسط فرآیند تابش پرتوهای پرانرژی الکترونی بیانگر تبعیت داده‌ها از سیستیک درجه دوم بوده است. میزان ضریب همبستگی ( $R^2$ ) بدست آمده در مطالعه آنها برای سیستیک درجه دوم برابر با ۰/۹۸ بود. با توجه به اظهارات این محققین، ترکیب آبپرورمايد واکنش پذیری بالایی نسبت به گونه‌های فعال تولید شده توسط تابش پرتوهای پرانرژی الکترونی به محلول داشته است (۲۶).

با توجه به نیاز روز افزون جوامع به آب سالم جهت استحصال و مصارف روزمره، توجه به سالم‌سازی و تأمین آب با کیفیت مطلوب مورد توجه شرکت‌های آب و فاضلاب است. اسید هیومیک از جمله مهمترین ترکیبات آلی طبیعی بوده که طی فرآیند کلرزنی می‌تواند به تری هالومتان‌ها و هالواسیک

### References

- 1- Mahvi AH, Maleki A, Rezaee R, et al. Reduction of Humic substances in water by application of ultrasound waves and ultraviolet irradiation. Iranian Journal of Environmental Health Science Engineering 2009; 6(4): 233-40.
- 2- Matilainen A, Sillanpää M. Review: Removal of natural organic matter from drinking water by advanced oxidation processes. Chemosphere 2010; 80(4):351–65.
- 3- Roshani B, Karpel Vel Leitner N. Effect of persulfate on the oxidation of benzotriazole and humic acid by e-beam irradiation. Journal of Hazardous Materials 2011; 190(1-3):403-8.
- 4- Goraczko W, Slawinski J. Luminescence from  $\gamma$ -irradiated humic acid. Journal of Luminescence 2008; 128(7):1155–61.



- 5-Liu S, Lima M, Fabris R, Chow Ch, Chiang K, Drikas M, et al. Removal of humic acid using TiO<sub>2</sub> photocatalytic process—Fractionation and molecular weight characterisation studies. *Chemosphere* 2008; 72(2): 263–71.
- 6-Qi BC, Aldrich C, Lorenzen L. Effect of ultrasonication on the humic acids extracted from lignocellulose substrate decomposed by anaerobic digestion. *Chemical Engineering Journal* 2004; 98(1-2): 153–63.
- 7- Naffrechoux E, Combet E, Fanget B, et al. Reduction of chloroform formation potential of humic acid by sonolysis and ultraviolet irradiation. *Water Research* 2003; 37(8):1948–52.
- 8- Li XZ, Li FB, Fanc CM, Sunc YP. Photoelectrocatalytic degradation of humic acid in aqueous solution using a Ti/TiO<sub>2</sub> mesh photoelectrode. *Water Research* 2002; 36(9): 2215–24.
- 9- Uyguner CS, Bekbolet M. A comparative study on the photocatalytic degradation of humic substances of various origins. *Desalination* 2005; 176(1-3):167–76.
- 10- Wu Y, Zhoua Sh, Qina F, et al. Modeling the oxidation kinetics of Fenton's process on the degradation of humic acid. *Journal of Hazardous Materials* 2010; 179(1-3):533–9.
- 11- Yigit Z, Inan H. A study of the photocatalytic oxidation of Humic Acid on anataseand mixed-phase anatase–rutile tio nanoparticles. *Water, Air and Soil Pollution: Focus* 2009; 9: 237-43.
- 12- Amin MM, Safari M, Maleki A, et al. Feasibility of humic substances removal by enhanced coagulation process in surface water. *International Journal of Environmental Health Engineering* 2012; 1(3): 2-9.
- 13-Yung JK, Lee SM. Removal of Cr (VI) and humic acid by using TiO<sub>2</sub> photocatalysis. *Chemosphere* 2006; 63:1677-84.
- 14- Liao CH, Lu Mch, Su ShH. Role of cupric ions in the H<sub>2</sub>O<sub>2</sub>/UV oxidation of humic acids. *Chemosphere* 2001; 44(5):913-9.
- 15- Jo CH, M.Dietrich A, M.Tanko J. Simultaneous degradation of disinfection byproducts and earthy-musty odorants by the UV/H<sub>2</sub>O<sub>2</sub> advanced oxidation process. *Water research* 2011; 45(8): 2507- 16.
- 16- Boukari Sob, Pellizzari F, Karpel Vel Leitner N. Influence of persulfate ions on the removal of phenol in aqueous solution using electron beam irradiation. *Journal of Hazardous Materials* 2011; 185(2-3):844-51.
- 17- A.Alsheyab M, H. Muñoz A. Reducing the formation of trihalomethanes (THMs) by ozone combined with hydrogen peroxide (H<sub>2</sub>O<sub>2</sub>/O<sub>3</sub>). *Desalination* 2006; 194(1-3):121–6.



- 18- Sampa MHO., Borrely SI, Silva BL, et al. "The use of electron beam accelerator for the treatment of drinking water and wastewater in Brazil." *Radiation Physics and Chemistry* 1995; 46(4-6):1143-6.
- 19- Wu MH, Liu N, Xu G, et al. Application of Radiation in Environmental Protection. *Progress in Chemistry* 2011; 23:1547-57.
- 20- Zhang J, Zheng Z, Luana J, et al. Degradation of hexachlorobenzene by electron beam irradiation. *Journal of Hazardous Materials* 2007; 142(1-2): 431– 6.
- 21- Aguer JP, Richard C. Reactive species produced on irradiation at 365 nm of aqueous solutions of humic acids. *Journal of Photochemistry and Photobiology A: Chemistry* 1996; 93(2-3):193-8.
- 22- Gun Kwon B, Kim E, Lee JH. Pentachlorophenol decomposition by electron beam process enhanced in the presence of Fe (III)-EDTA. *Chemosphere* 2009; 74(10):1335–9.
- 23-Lowe J, Hossain MdM. Application of ultrafiltration membranes for removal of humic acid from drinking water. *Desalination* 2008; 218(1-3): 343–54.
- 24-Soleymani AR, Saien J, Bayat H. Artificial neural networks developed for prediction of dye decolorization efficiency with UV/K<sub>2</sub>S<sub>2</sub>O<sub>8</sub> process. *Chemical Engineering Journal* 2011; 170 (1): 29–35.
- 25- Criquet J, Karpel Vel Leitner N. Electron beam irradiation of citric acid aqueous solutions containing persulfate. *Separation and Purification Technology* 2012; 88:168–73.
- 26- Kwon M, Yoon Y, Cho E, et al. Removal of iopromide and degradation characteristics in electron beam irradiation process. *Journal of Hazardous Materials* 2012; 227–228:126 –34.
- 27- Ting TM, Jamaludin N. Decolorization and decomposition of organic pollutants for reactive and disperse dyes using electron beam technology: Effect of the concentrations of pollutants and irradiation dose. *Chemosphere* 2008; 73(1): 76-80.
- 28- Paul J, Rawat KP, Sarma KSS, et al. Decoloration and degradation of Reactive Red-120 dye by electron beam irradiation in aqueous solution. *Applied Radiation and Isotopes* 2011; 69(7): 982-7.
- 29-Gehringer P, Eschweiler H, Fiedler H. Ozon-electron Beam Treatment for Groundwater Remediation. Austrian Research Centre Seibersdorf, A-2444 Seibersdorf Austria 1995; 46 (4-6):1075-8.
- 30-Parsaeian MR, Anvari F, Kheirkhah M, et al. Electron Beam Process for Decoloration of Reactive and Acid Dyes in Aqueous Solution in Presence of H<sub>2</sub>O<sub>2</sub>. *Journal of Nuclear Science and Technology* 2010; 50: 68-73. [Persian]



- 
- 31- Neta P, Madhavan V, Zemel H, et al. Rate constants and mechanism of reaction of sulfate radical anion with aromatic compounds. *Journal American Chemical Society* 1977; 99 (1):163-4.
- 32- Criquet J, Karpel Vel Leitner N. Radiolysis of acetic acid aqueous solutions—Effect of pH and persulfate addition. *Chemical Engineering Journal* 2011; 174(2-3):504–9.



## The Investigation of Electron Beam Catalytical Oxidation Process Efficiency with Potassium Persulfate in Removal Humic Acid from Aqueous Solutions

**Ghaneian MT (Ph.D)<sup>1</sup>, Ehrampoush MH (Ph.D)<sup>2</sup>, Dehvari M (M.Sc)<sup>3</sup>, Kheirkhah M (MS)<sup>4</sup>, Anvari F(MS)<sup>4</sup>, Askarshahi M(Ph.D) <sup>5</sup>, Jamshidi B(M.Sc)<sup>6</sup>**

1. Associate Professor, Department of Environmental Health Engineering, Shahid Sadoughi University of Medical Sciences, Yazd, Iran.

2. Professor, Department of Environmental Health Engineering, Shahid Sadoughi University of Medical Sciences, Yazd, Iran.

3. Corresponding Author: M.Sc Student, Department of Environmental Health Engineering, Shahid Sadoughi University of Medical Sciences, Yazd, Iran.

4. Lab. Instructor, Radiation Application Research School, Nuclear Science and Technology Research Institute

5. Assistant Professor, Department of Biostatistics, Shahid Sadoughi University of Medical Sciences, Yazd, Iran.

6. M.Sc, Department of Environmental Health Engineering, Shahid Sadoughi University of Medical Sciences, Yazd, Iran.

### Abstract

**Introduction:** The most important affect of natural organic matters in water is their reaction with chlorine and producing of disinfection byproducts that are carcinogenic. Humic acid is most common natural organic materials of surface water. Advanced oxidation processes (AOPs) are methods for the removal of organics from aqueous solutions. Application of electron beam radiation is one of these methods for water treatment. The aim of this study was to evaluate the efficiency of catalytic oxidation process of electron beam radiation with potassium persulfate in removal of humic acid from aqueous solutions.

**Methods:** This experimental study was performed in laboratory scale. In this study, effect of pH (4 -10), initial concentration of potassium persulfate (0.1- 0.5 mmol/100cc), different radiation doses of electron beam (1-15 kGy) and the initial concentration of Humic acid (10-50 mg/l) in removal of humic acid were studied. Electron irradiation performed using an electron accelerator model TT200. Residual concentrations of humic acid in the samples determined by spectrophotometer UV/Vis at a wavelength of 254 nm.

**Results:** Based on the results, changes in pH had little effect on the Humic acid removal efficiency. The average, with increasing of pH from 4 to 10, the removal efficiency of humic acid from 72.59% to 73.36% increased, respectively. The results showed that increasing of the dose from 1 to 15 kGy, humic acid removal efficiency increases. Based on results by increasing of persulfate concentration, the removal efficiency increased so that with increasing of concentration of potassium persulfate from 0.1 to 0.5 mmol/100cc, removal efficiency from 69.43% to 83.82% was increased. Kinetic experiments showed that the decomposition of humic acid by electron beam radiation followed the second-order kinetic.

**Conclusion:** The data from this study showed that the aqueous solution containing acid Humic is decomposed effectively by electron beams irradiation. Addition of potassium persulfate can be have significant improvements in removal efficiency of humic acid in the presence of electron beam.

**Keywords:** water treatment, humic acid, advanced oxidation processes, electron beam irradiation, potassium persulfate